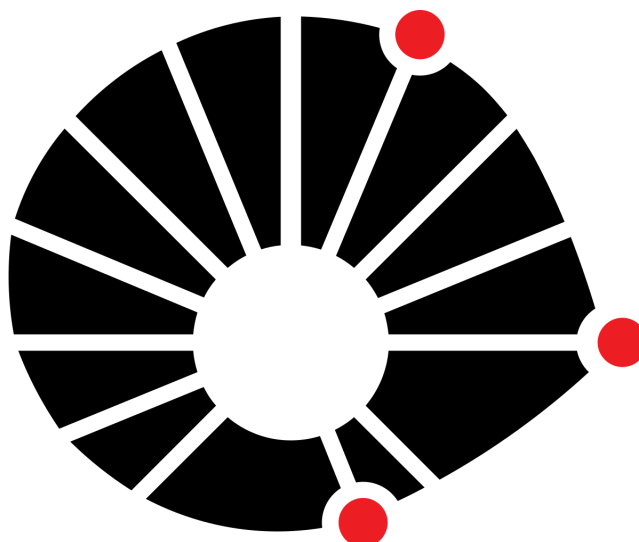


Relatório Projeto Final -EE871



UNICAMP

Campinas-São Paulo
Novembro 2017

Nome dos integrantes do grupo:

Fernando Fortes Granado
Rodrigo Diniz Junqueira Santos

RA:171575
RA:186755

Turma: M
Disciplina: EA871

Introdução e objetivos:

Nesse projeto final tinha-se como principal objetivo aplicar os conceitos aprendidos ao longo da disciplina e utilizar um dispositivo não utilizado anteriormente, para se fazer um medidor de distâncias semelhantes àqueles presentes em automóveis, com a exceção de que o dispositivo com o qual trabalhou-se era ultra-som e atualmente nos automóveis os sensores de distância no geral utilizam infravermelho para se medir distâncias.

Primeiramente, antes de se iniciar o experimento, realizou-se um esboço de como iria-se fazer para que o sensor funcionasse de forma adequada, pensou-se em utilizar o **tpm** para se medir o tempo que demoraria para o som ir e voltar do sensor de distância. No entanto, após reflexão e pesquisas, viu-se que a velocidade do som se altera dependendo das condições do meio na qual a mesma se propaga, principalmente por conta da variação da temperatura, com isso lembrou-se do módulo **adc** utilizado anteriormente na disciplina, justamente para se realizar a medição de temperatura. Ainda assim, visto que tínhamos como objetivo fazer um projeto com o qual fosse semelhante ao de um sensor de ré de um automóvel, faltava um sensor sonoro, então propôs-se a utilização de um buzzer por meio da utilização de outro módulo **tpm** para se controlar a frequência na qual se liga e desliga o buzzer. Além disso, imprimia-se no lcd a distância medida ¹ e também os leds vermelhos seguiram uma lógica semelhante ao dos carros, que seria quanto mais distante maior o número de leds acesos e a medida que o carro for de aproximando os leds iam se apagando.

Portanto, os módulos utilizados e suas funções ficaram da seguinte forma:

- **ADC:** somente leitura de temperatura (°C).
- **TPM:** contagem de tempo da distância e também controle da frequência na qual o buzzer iria ligar e desligar.
- **PIT:** não foi utilizado neste experimento.
- **LCD:** imprimir a distância medida.
- **LED:** acender e apagar à medida que o carro se aproxima ou se afasta.

Metodologia:

Após a definição dos módulos que seriam utilizados, teve-se que se pesquisar o funcionamento do sensor de distância. Tomou-se como base principalmente o datasheet do fabricante, onde se viu o seguinte diagrama temporal:

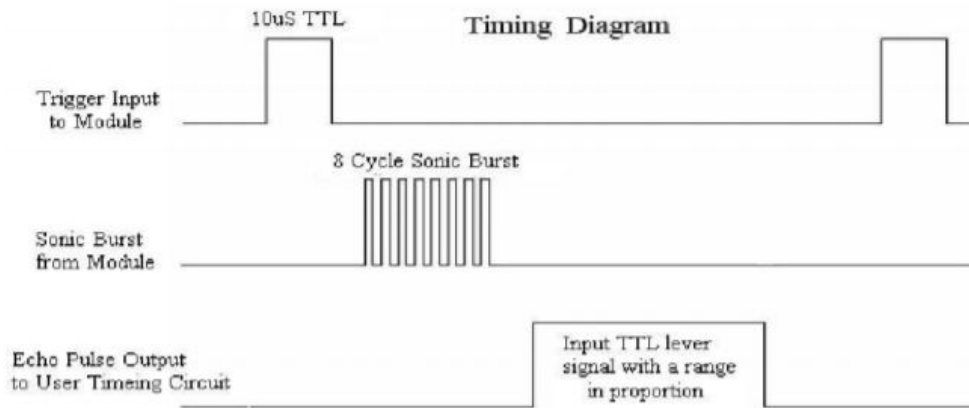


Figura 1. Diagrama de tempo do funcionamento do sensor HC-SR04

Proveniente dessa imagem, entendeu-se a seguinte lógica de funcionamento, que logo após o envio de um trigger de pelo menos 10 μs , isto é, na borda de descida do trigger, será enviado 8 ciclos de som, que assim que o sensor começar a captar de volta o sinal, haverá um sinal na saída que ficará em ativo alto até o término de captação dos sinais. Com esses fatos, viu-se que o tpm teria que gerar interrupção para ambas as bordas tanto de subida quanto de descida, pois o tpm deveria começar a contar, logo com a borda de subida do eco e parar de contar com a borda de descida do eco. Também na borda de descida, o mesmo deveria enviar um novo sinal de trigger iniciando o ciclo novamente.

Além disso, viu-se que constava nas especificações do fabricante que o sensor hc-sr04 somente funciona com uma tensão de 5V, apesar do fato da placa FRDM-KL25Z possuir pinos de alimentação de 5V não se tinha acesso aos mesmos, devido ao shield de EA871, porém teve-se a ideia de se aplicar uma fonte de tensão externa dessa forma solucionando o problema, no entanto tinha-se a disposição somente uma fonte de tensão de 6V, então teve-se a ideia de fazer um divisor de tensão em um protoboard de forma que a entrada fosse de 6V e a saída de 5V.

No uso do TPM, o mesmo seria sensível tanto à borda de subida quanto de descida, pois dessa forma na borda de subida do eco iria capturar o tempo total de viagem até a borda de descida quando será enviado um novo Trigger. Também fizemos uso das seguintes flags do circuito :

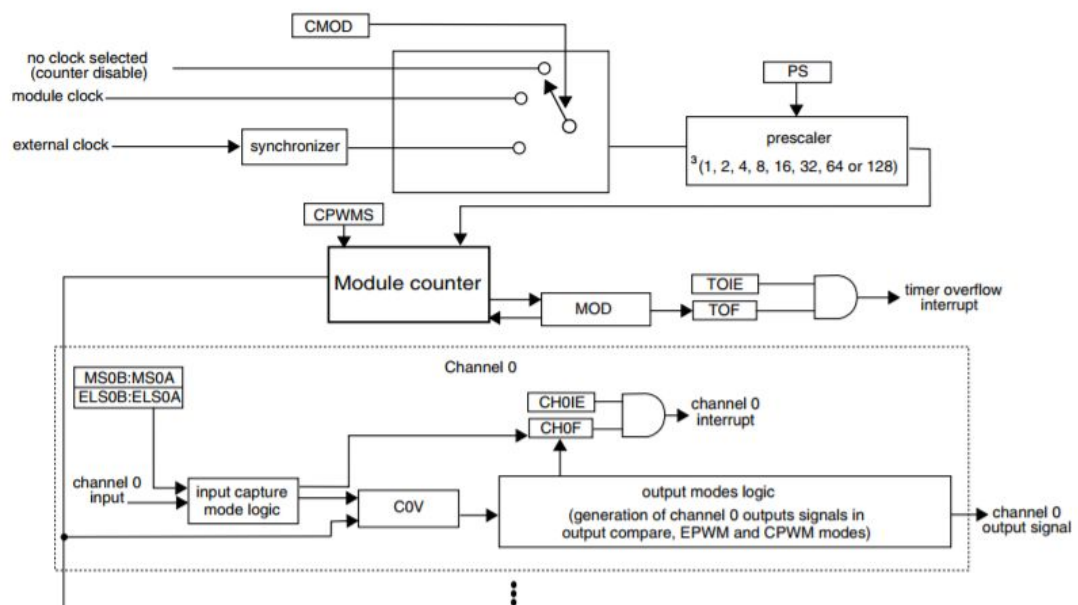


Figura 2. Circuito esquemático TPM

TOIE e TOF que seria toda vez em que se tiver um overflow o TOF levanta-se automaticamente por meio de hardware, e no caso a flag TOIE é setada por meio de software, que no nosso programa seria justamente quando o TPM captura a borda de subida do eco a flag TOIE é habilitada, e toda vez que o TOF for setado uma variável ciclos é incrementada.

observação: ¹ inicialmente era realmente à medida que o sensor media o valor era impresso no lcd, no entanto para se deixar de forma a diminuir o erro optou-se por pegar a média de 220 medidas.

Proposta de solução:

Tabela 1: configuração de cada pino usado e suas funções no projeto

| Pino | Configuração | MUX | descrição |
|-------|----------------|--------|--|
| PTE21 | TPM1_CH1 | 0b011* | controle do buzzer: ligá-lo e desligá-lo |
| PTE22 | GPIO saída | 0b001 | enviar sinal de trigger |
| PTE23 | TPM2_CH1 | 0b011 | contagem do tempo do eco |
| PTB1 | ADC0 - canal 9 | 0b000 | medição da temperatura |

*Para ligar o buzzer MUX = 0b011, e para desligar o buzzer MUX = 0b000. Assim se fazia o bip-bip.

Após o envio do trigger o sensor envia um sinal, a onda de eco, que fica em nível lógico 1 pelo tempo equivalente à ida e volta do ultrassom emitido. Assim, para medir o tempo do eco configuramos PTE23 para ser TPM2_CH1 input capture em ambas as bordas. Após a borda de subida desse sinal, na handler de TPM2_CH1, habilitamos o campo TOIE do TPM2, para incrementar uma contagem de ciclos quando houver overflow no contador de TPM2. E quando há a borda de descida do eco desabilitamos esse campo TOIE e calculamos o tempo equivalente ao eco (tempo de viagem), por meio do qual calculamos a distância usando, também, a velocidade do som (dada por $velocidadeAR = 33130 + (60 * temperatura)$ em centímetros/s)

Após calcular a distância, ela é armazenada no vetor `distancias_recentes[i]`. Após serem juntadas 220 distâncias, é calculada a média e usamo-na para calcular o número de ciclos de TPM em que o buzzer deve ficar ligado e desligado: quanto mais perto menor esse tempo.

Foi usada a fórmula: $ciclos_desligado = (aux_dist_media/200)/0.000391$.

Após esse número de ciclos, executamos

```
setaMux(&PORT_PCR_REG(PORTE_BASE_PTR,21), 0b011);
```

para ligar o buzzer ou

```
setaMux(&PORT_PCR_REG(PORTE_BASE_PTR,21), 0b000);
```

para desligar o buzzer.

Com a média das 220 distâncias, também ligamos e desligamos os LEDs vermelhos: acima de 1m de distância todos ligados; abaixo de 1m, a cada 12,5cm mais perto, um LED é desligado.

Pseudocódigo:

main

Inicialização:

```
chama initPort(B)
configura PTB1 como ADC
chama initPort(E)
configura PTE21 como TPM; PTE22 como GPIO; PTE23 como TPM
configura PTE22 como saída
inicializa TPM2 com pré-escala 8 e MOD=16
inicializa TPM1 com pré-escala 8 e MOD = 1024
inicializa TPM2 CH1 como input capture em ambas as bordas
inicializa TPM1 CH1 como output compare
inicializa LEDs apagados
inicializa LCD
inicializa ADC e habilita interrupção
habilita interrupção do TPM2
habilita interrupção do TPM1
chama mandaString("Distancia [cm]");
```

manda trigger

repetir (loop infinito):

```
se(flag_ADC0)
    atualizar temperatura
    flag_ADC0 = 0
se(flag_novo_tempo)
    velocidadeAR = 33130 + (60 * temperatura)
    distancias_recntes[i] = (velocidadeAR*tempoviagem)/2
    i++
    se(i == 220)
        calcular media das 220 distancias
        atualizar frequencia do buzzer
        i = 0
        flag_print_dist = 1;
se(flag_print_dist)
    escreve a media das distancias recentes no LCD; apaga
    LEDs vermelhos conforme menor distancia (todos acesos para mais
    de 1m)
```

Rotina de TPM2_CH1 (onda de eco)

subida (começo do eco):

 habilita interrupcao no overflow
 ciclos = 0

descida (fim do eco):

 desabilita interrupcao no overflow
 tempoviagem = ciclos*0.0000061
 flag_novo_tempo = 1
 enviar outro trigger (delay)

overflow (apenas se a interrupção por overflow estiver habilitada):

 ciclos++

Rotina de TPM1_CH1 (controla o buzzer)

aux_buzzer++;

/*! variavel que incrementa para contar o tempo em que o buzzer ficara ligado e desligado */

se (aux_buzzer >= ciclos_desligado)

 desliga buzzer se estiver ligado; liga buzzer se estiver desligado

 /* isto é feito alterando o MUX de PTE21, onde está conectado o buzzer */

 aux_buzzer = 0

Testes:

Assim que vimos que nosso sensor de distâncias estava funcionando da forma esperada, utilizamos uma placa plana de madeira com dimensões inferiores requeridas pelo fabricante para realizar alguns testes, e obtivemos os seguintes resultados:

Validação da medida de distância:

Tabela 2: Distância real entre o sensor e o anteparo e distância medida pelo sensor

| Medida sensor (cm) | Medida trena (cm) |
|--------------------|-------------------|
| 62.41 | 65.5 |
| 44.31 | 51 |
| 49.81 | 55.5 |
| 31.11 | 34.2 |
| 23.3 | 27.5 |
| 72 | 80 |
| 17.21 | 19.5 |

Também realizamos algumas outras medidas que foram capturadas tanto pelo osciloscópio, como distância da mesa do le30 até o teto da sala, e obtivemos os seguintes resultados:

Medidas distância até o teto: 205 cm, que está de acordo visto que o sensor estava sobre uma mesa que tinha altura de aproximadamente 70 cm

| | | |
|----------------------|-----------|------------|
| (x) ciclos | 436 | 0x1ffff038 |
| (x) tempoviagem | 0.0119072 | 0x1ffff034 |
| (x) ciclos_desligado | 2625 | 0x1ffff004 |
| (x) ciclos | 436 | 0x1ffff038 |
| (x) tempoviagem | 0.0119072 | 0x1ffff034 |
| (x) ciclos_desligado | 2625 | 0x1ffff004 |

$$\Rightarrow \text{Distância} = \text{velocidade do som no meio} * \text{tempo de viagem} / 2$$

$$\Rightarrow \text{Distância} = 205,8 \text{ cm}$$

Que é condizente com a realidade visto que geralmente a altura de um andar é por volta de 2,8m até 3m se levarmos em conta a altura da mesa teremos que a altura do andar da sala de aula é por volta de 2,8m

Além disso também realizamos outra medida:

| | | |
|-----------------------|------------|------------|
| (x)= flag_print_dist | ' ' | 0x20002fdf |
| (x)= i | '0' | 0x20002fde |
| (x)= j | 'd' | 0x20002fdd |
| (x)= aux_dist_media | 85.4021 | 0x20002fd8 |
| > distancias_recentes | 0x20002e24 | 0x20002e24 |
| (x)= flag_novo_tempo | 0 | 0x1ffff02c |
| (x)= ciclos | 761 | 0x1ffff038 |
| (x)= tempoviagem | 0.0054839 | 0x1ffff034 |

Figura: tempo de viagem medido pelo programa: 0.0054839s

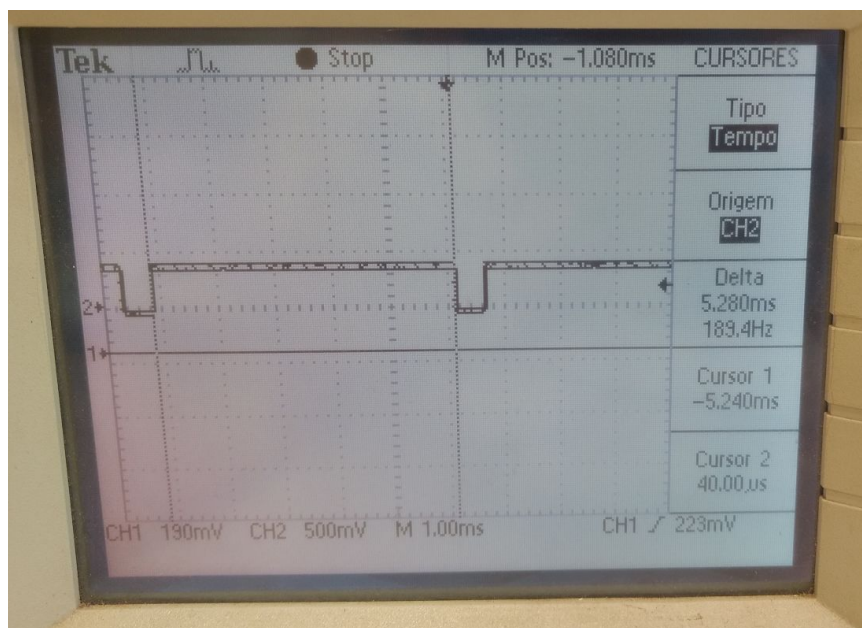


Figura: Onda do eco vista no osciloscópio; o tempo em nível 1 é de 5.280ms

Como vemos pelas duas imagens acima, o tempo do eco foi medido em 5.280ms pelo osciloscópio e em 5.4839ms pelo programa. Essas medidas são bem próximas, levando a concluir que o tempo está sendo corretamente medido pelo programa.

Validação do buzzer:

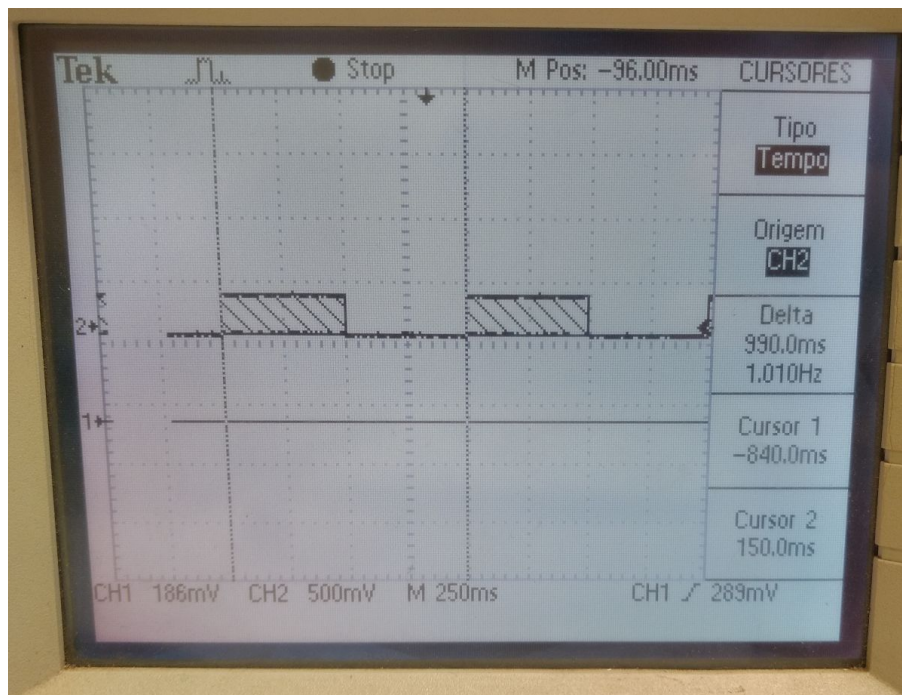


Figura: onda em PTE21 quando o tempo de viagem é 0.0053985s, conforme a figura abaixo:

| | | |
|------------------|-----------|------------|
| flag_novo_tempo | 0 | 0x1ffff02c |
| ciclos | 885 | 0x1ffff038 |
| tempoviagem | 0.0053985 | 0x1ffff034 |
| ciclos_desligado | 1268 | 0x1ffff004 |
| ciclos | 885 | 0x1ffff038 |
| tempoviagem | 0.0053985 | 0x1ffff034 |
| ciclos_desligado | 1268 | 0x1ffff004 |

Este tempo de viagem equivale a 99.30 cm de distância e o período do buzzer (medido no osciloscópio) é de 990ms.

Por outro lado, jogando na fórmula teremos que o número de ciclos teria que ser por volta de 1270 ciclos (pois a distância é 99.3cm) e obtivemos :

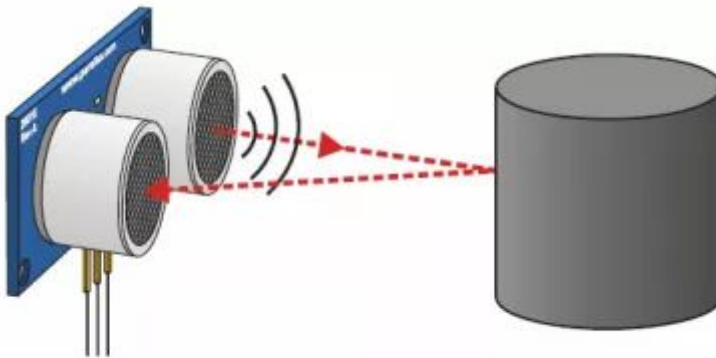
$1268 \cdot 0.000391 = 0,4965s$ que é o tempo desligado e no caso o período ligado e desligado são iguais, logo o período total será de 0.991s que se aproxima muito daquele

medido pelo osciloscópio. Desse modo, vemos que o bip-bip do buzzer está funcionando adequadamente.

Conclusão:

Nesse experimento, pode-se notar alguns fatores como possíveis fontes de erros, como:

- Não tínhamos como fazer o experimento em uma sala isolada, isto é objetos ao redor poderiam ser possíveis fontes de erro.
- De acordo com o fabricante é necessária uma placa/área com uma dimensão de aproximadamente $0,5\text{m}^2$, entretanto não tinha-se disponível tal placa com essas dimensões.
- Acredita-se que a principal fonte de erro seria , ângulo de operação do sensor que de acordo com fabricante teria que ser por volta de 15° no entanto, não tinha-se como garantir esse ângulo. Também, pode-se afirmar que a existência desse ângulo é em decorrência do modo como o mesmo opera. Que pode-se ser visto abaixo:



- Além disso, tem-se fatores como não conseguia-se manter a placa de madeira com a qual se realizou o experimento à uma distância constante, e ângulo constante.

| | |
|-----------------------------|---|
| Working Voltage | DC 5 V |
| Working Current | 15mA |
| Working Frequency | 40Hz |
| Max Range | 4m |
| Min Range | 2cm |
| Measuring Angle | 15 degree |
| Trigger Input Signal | 10uS TTL pulse |
| Echo Output Signal | Input TTL lever signal and the range in proportion |
| Dimension | 45*20*15mm |

Figura 3. Especificações do fabricante entre elas, a principal o ângulo de medida.

Portanto, visto que mediu-se por meio do osciloscópio e de software o tempo de distância percorrido, e os mesmo eram iguais, pode-se afirmar que as fontes de erro não eram em decorrência do software, mas sim por conta de erros físicos como apresentados anteriormente, e devido ao fato de limitações ou ausência de materiais esses erros não puderam ser minimizados. Como no caso, se tivesse uma bolha de nível, transferidor, podia-se minimizar o erro cometido por conta do ângulo.

Além disso, pode-se afirmar que erros de eficiência ou na diferença de tempo contado pelos ciclos e realmente realizados foram minimizados ou até mesmo eliminados a partir do momento em que empregou-se o módulo tpm, que seu objetivo é justamente ser o mais preciso possível na contagem de tempo.

Referências:

- 1-<http://www.micropik.com/PDF/HCSR04.pdf>
- 2-ftp://ftp.dca.fee.unicamp.br/pub/docs/ea871/apostila_C/AmbienteDesenvolvimentoHardware.pdf
- 3-<https://portal.vidadesilicio.com.br/hc-sr04-sensor-ultrassonico-distancia/>
- 4-<ftp://ftp.dca.fee.unicamp.br/pub/docs/ea871/ARM/KLQRUG.pdf>
- 5-<ftp://ftp.dca.fee.unicamp.br/pub/docs/ea871/ARM/KL25P80M48SF0RM.pdf>
- 6-http://www.dca.fee.unicamp.br/cursos/EA871/2s2016/UW/roteiros/relatorio_template.txt